

1 соответствует $q = -0,45$, 2 — $0,62$. Заметны быстрое уменьшение деформаций профиля скорости, локализация рейнольдсовых напряжений у одной из стенок канала. Сплошными кривыми 1, 2 нанесены ламинарные профили скорости при тех же q , крестиками на них отмечены положения критических слоев y_c , где $U(y_c) = C$. Заметна тенденция приближения одного из критических слоев к стенке на границе области существования решения.

Таким образом, область существования рассмотренных трехмерных автоколебаний конечной амплитуды не захватывает собственно течения Куэтта. По-видимому, это связано с тем, что наиболее опасные для течения Куэтта возмущения имеют другую структуру, чем в случае течения Пуазейля.

Авторы выражают глубокую признательность В. Н. Штерну и М. А. Гольдштику за ценные советы и постоянное внимание к работе.

ЛИТЕРАТУРА

1. Гольдштик М. А., Штерн В. Н. Гидродинамическая устойчивость и турбулентность. Новосибирск: Наука, 1977.
2. Davis S. J., White C. M. An experimental study of flow of water in pipes of rectangular section.— Proc. Roy. Soc., 1928, v. 119, N 781.
3. Potter M. C. Stability of plane Couette — Poiseuille flow.— J. Fluid Mech., 1966, v. 24, N 3.
4. Hains F. D. Stability of plane Couette — Poiseuille flow.— Phys. Fluids, 1967, v. 10, N 9.
5. Reihardt H. Über die Geschwindigkeitsverteilung in einer geradlinigen Turbulenten Couetteströmung.— Z. angew. Math. und Mech., 1956, Bd 36, Sonderheft.
6. Robertson J. M. On turbulent plane Couette flow.— In: Proceedings of the 6th Midwestern Conference of Fluid Mechanics, 1959.
7. Козлов В. В., Рамазанов М. П. Развитие возмущений конечной амплитуды в течении Пуазейля.— Изв. АН СССР. МЖГ, 1983, № 1.
8. Качанов Ю. С., Левченко В. Я. Резонансное взаимодействие возмущений при переходе к турбулентности в пограничном слое. Препринт № 10. Новосибирск: ИТПМ СО АН СССР, 1982.
9. Nishioka M., Iida S., Ichikawa Y. An experimental investigation of the stability of plane Poiseuille flow.— J. Fluid. Mech., 1975, v. 72, N 4.
10. Orszag S. A., Kells L. C. Transition to turbulence in plane Poiseuille and plane Couette flow.— J. Fluid Mech., 1980, v. 96, N 1.
11. Гольдштик М. А., Лифшиц А. М., Штерн В. Н. Число Рейнольдса перехода в плоском канале.— ДАН СССР, 1983, т. 273, № 1.

Поступила 14/VI 1984 г.

УДК 532.526

КЛАСС АВТОМОДЕЛЬНЫХ РЕШЕНИЙ ДЛЯ ВЫСОКОТЕМПЕРАТУРНОЙ ОСЕСИММЕТРИЧНОЙ СТРУИ

А. А. Бобнев
(Новосибирск)

При исследовании неизотермических струйных течений сжимаемого газа наиболее простые и строгие результаты можно получить, воспользовавшись преобразованием Дородницына [1]. Однако этот прием пригоден лишь для плоских (или сводящихся к плоским) течений газа при линейной зависимости теплопроводности и динамической вязкости от температуры, при этом затруднителен переход от переменных Дородницына к физическим. В случае истечения осесимметричной струи из точечного источника для области, где температура на оси значительно больше температуры на бесконечности, можно построить, воспользовавшись идеей существования разделительного слоя [2], автомодельное решение при степенной зависимости теплопроводности и вязкости от температуры, причем от исходной двухпараметрической задачи (число Прандтля, показатель степени) можно перейти к однопараметрической.

1. Задачу, описывающую истечение неизотермической струи из цилиндрического отверстия в приближении пограничного слоя, запишем в безразмерном виде

$$(1.1) \quad \frac{1}{r} \frac{\partial}{\partial r} \left[r \mu(T) \frac{\partial w}{\partial r} \right] = \rho \left(v \frac{\partial w}{\partial r} + w \frac{\partial w}{\partial z} \right),$$

$$\frac{1}{r} \frac{\partial}{\partial r} (r\rho v) + \frac{\partial}{\partial z} (\rho w) = 0, \quad \rho T = 1,$$

$$\frac{1}{r} \frac{\partial}{\partial r} \left[r\lambda(T) \frac{\partial T}{\partial r} \right] = \text{Pr} \rho \left(v \frac{\partial T}{\partial r} + w \frac{\partial T}{\partial z} \right);$$

$$(1.2) \quad v = \frac{\partial w}{\partial r} = \frac{\partial T}{\partial r} = 0 \quad \text{при } r = 0;$$

$$(1.3) \quad T = \varepsilon, w = 0 \quad \text{при } r \rightarrow \infty,$$

где r, zR — цилиндрические координаты (r, z — внутренние координаты в асимптотическом разложении по малому параметру R^{-1}); $R = \sqrt{V \rho_m I_{1m} / 2\pi} / \mu_m$ — некоторый аналог числа Рейнольдса; $vR^{-1}, w - r, z$ — составляющие скорости; $\text{Pr} = c_{pm} \mu_m / \lambda_m$ — число Прандтля; ε — значение температуры на бесконечности; обозначение остальных величин общепринятое. При обезразмеривании считались заданными масштабы $T_m, \rho_m, c_{pm}, \mu_m, \lambda_m$ (масштабные величины помечены индексом m), а также масштабы полного импульса I_{1m} и потока энтальпии I_{2m} , определяемые по формулам

$$I_{1m} = 2\pi \rho_m V_m^2 L_m^2 \int_0^\infty \rho w^2 r dr, \quad I_{2m} = 2\pi c_{pm} \rho_m T_m V_m L_m^2 \int_0^\infty \rho w (T - \varepsilon) r dr.$$

В качестве масштабов скорости V_m и длины L_m выбраны

$$V_m = c_{pm} T_m I_{1m} / I_{2m}, \quad L_m = (I_{2m} / c_{pm} T_m) / \sqrt{2\pi \rho_m I_{1m}}.$$

При записи уравнений (1.1) было принято, что удельная теплоемкость является постоянной величиной. Для системы (1.1) следовало бы поставить начальные условия при $z = z_0$, однако в рамках этой работы будут рассматриваться только автомодельные решения, поэтому для замыкания задачи (1.1)—(1.3) сформулируем условия сохранения импульса и потока энтальпии

$$(1.4) \quad \int_0^\infty \rho w^2 r dr = 1, \quad \int_0^\infty \rho w (T - \varepsilon) r dr = 1.$$

Задачу (1.1)—(1.4) будем рассматривать при $\varepsilon \rightarrow 0$. Для этого случая можно построить асимптотическое разложение по малому параметру ε , пригодное вблизи границы $r = 0$ (в дальнейшем это разложение назовем разложением для горячего пограничного слоя). Следуя [2], предположим, что эти разложения будут непригодны вблизи поверхности, где локализуется разделительный слой, т. е. область пригодности разложений лежит в интервале $0 \leq r < r_0(z)$, где $r = r_0(z)$ — поверхность раздела, на которой температура в нулевом приближении горячего пограничного слоя равна нулю. В рамках этой работы не будем останавливаться на построении решений для разделительного слоя, отметим только, что причины возникновения этой области неравномерности и методология построения решений в разделительном слое рассмотрены в [2]. С физической точки зрения тонкий (по сравнению с толщиной пограничного слоя) разделительный слой отделяет высокотемпературную область течения сжимаемого газа от низкотемпературной области течения несжимаемого газа с постоянной температурой.

В нулевом приближении по ε задача для горячего слоя описывается системой уравнений (1.1), граничными условиями (1.2) и интегральными условиями, которые теперь запишутся в виде

$$(1.5) \quad \int_0^{r_0(z)} \rho w^2 r dr = 1, \quad \int_0^{r_0(z)} w r dr = 1.$$

Условия сохранения (1.5) можно получить, лишь предполагая существо-

вание этих интегралов. Задача (1.1), (1.2), (1.5) допускает автомодельное решение, если

$$(1.6) \quad \mu = \lambda = T^\gamma,$$

где γ — заданная постоянная; здесь и ниже следует иметь в виду, что при возведении положительного числа в нецелую степень результат считается вещественным и положительным. Тогда, полагая

$$(1.7) \quad w(r, z) = z^{\alpha_w} u(x), \quad v = z^{\alpha_v} f(x), \quad T = z^{\alpha_T} \theta(x), \quad r = xz^\alpha,$$

где

$$(1.8) \quad \alpha_w = \alpha_T = -1/(1 + \gamma), \quad \alpha_v = -(3 + 2\gamma)/[2(1 + \gamma)], \quad \alpha = 1/[2(1 + \gamma)],$$

получим из (1.1), (1.2), (1.5)

$$(1.9) \quad \frac{1}{x} (x\theta^\nu u')' = \frac{1}{\theta} [fu' + u(\alpha_w u - \alpha x u')],$$

$$\frac{1}{x} \left(x \frac{f}{\theta} \right)' - \alpha x \left(\frac{u}{\theta} \right)' = 0, \quad \frac{1}{x} (x\theta^\nu \theta')' = \text{Pr} \frac{1}{\theta} [f\theta' + u(\alpha_T \theta - \alpha x \theta')];$$

$$(1.10) \quad f = u' = \theta' = 0 \quad \text{при } x = 0;$$

$$(1.11) \quad \int_0^{x_0} (u^2/\theta) x dx = 1, \quad \int_0^{x_0} u x dx = 1,$$

где штрих обозначает производную по x ; x_0 — точка раздела ($\theta(x_0) = 0$), если она существует, в противном случае $x_0 \rightarrow \infty$. Отметим, что при $\gamma < -1$ температура и продольная скорость на оси возрастают вниз по потоку (см. (1.8)). Физически такая ситуация, по-видимому, возникнуть не может, поэтому следует иметь в виду, что в дальнейшем будет рассматриваться лишь случай

$$(1.12) \quad \gamma > -1.$$

Вообще для ламинарных струй можно предположить, что вязкость и теплопроводность растут с увеличением температуры, т. е. $\gamma > 0$, однако описание некоторых турбулентных течений можно сводить к ламинарным моделям с $\gamma < 0$.

В связи с тем что задача (1.9), (1.10) инвариантна к преобразованию

$$(1.13) \quad u \rightarrow C_1 u, \quad \theta \rightarrow C_2 \theta, \quad x \rightarrow C_1^{-1/2} C_2^{(1+\gamma)/2} x, \quad f \rightarrow G^{1/2} C_2^{(1+\gamma)/2} f,$$

в качестве замыкающих задачу (1.9), (1.10) условий используем

$$(1.14) \quad u = 1, \quad \theta = 1 \quad \text{при } x = 0.$$

Решив задачу (1.9), (1.10), (1.14) и используя свойства (1.13), можно определить постоянные C_1, C_2 , удовлетворяющие условиям нормировки (1.11). Поэтому в дальнейшем будем заниматься исследованием задачи (1.9), (1.10), (1.14).

2. Задачу (1.9), (1.10), (1.14) с помощью преобразования

$$(2.1) \quad s = \text{Pr}(f - \alpha x u),$$

используя свойства которого и свойства функций θ, u , следующие из задачи (1.9), (1.10), (1.14):

$$(2.2) \quad s = \theta^\nu \theta', \quad u = \theta^{1/\text{Pr}},$$

приведем к виду

$$(2.3) \quad \frac{1}{x} (x\theta^\nu \theta')' = \theta^{\nu-1} \theta'^2 + \text{Pr} \alpha x \theta^{1/\text{Pr}}, \quad \theta = 1, \quad \theta' = 0 \quad \text{при } r = 0.$$

Задача (2.3) имеет некоторые простые решения. Так, при $\gamma = 0$ уравнение (2.3) связано с известным уравнением Эмдена — Фаулера [3], и ре-

шением задачи (2.3) является

$$(2.4) \quad \theta = \left(1 + \frac{1 - \text{Pr}}{8} x^2\right)^{-2\text{Pr}/(1-\text{Pr})}$$

Из условия существования интегралов (условия существования автомодельных решений в форме (1.7), (1.8)) можно получить, что решение (2.4) приемлемо при $\text{Pr} < 3$. При $0 < \text{Pr} \leq 1$ решение (2.4) пригодно на полубесконечном интервале задания переменной $x (0 \leq x < \infty)$, т. е. раздельного слоя при этом не возникает. При $1 < \text{Pr} < 3$ решение (2.4) пригодно на интервале $0 \leq x < x_0$, и раздельный слой локализуется вблизи поверхности (точки) раздела $x_0 = \sqrt{8/(\text{Pr} - 1)}$.

При $\text{Pr} = 1$ решением задачи (2.3) является

$$(2.5) \quad \theta = (1 + \alpha_T \gamma x^2/4)^{1/\gamma} = \left[1 - \frac{\gamma x^2}{4(1+\gamma)}\right]^{1/\gamma}$$

Это решение пригодно, если $\gamma > 0$, при $0 \leq x < x_0 = 2\sqrt{(1+\gamma)/\gamma}$, а если $\gamma < 0$, то при $0 \leq x < \infty$. Условия существования интегралов приводят к ограничениям на γ , не более сильным, чем (1.12).

Задачу (2.3) введением новых переменных

$$(2.6) \quad \{\eta = \bar{x} \sqrt{\text{Pr}(-\alpha_T)|\gamma|}, \tau = \theta^\gamma$$

преобразуем к виду

$$(2.7) \quad \frac{1}{\eta} \frac{d}{d\eta} \left(\eta \frac{d\tau}{d\eta} \right) + \text{sign}(\gamma) \tau^\beta = 0, \quad \tau = 1, \quad \frac{d\tau}{d\eta} = 0 \quad \text{при } \eta = 0,$$

где $\beta = (1 - \text{Pr})/(\gamma \text{Pr})$. Таким образом, исходную двухпараметрическую задачу (γ, Pr) пятого порядка удалось преобразовать к двум ($\text{sign}(\gamma) = \pm 1$) однопараметрическим второго порядка. Решив (2.7), можно, воспользовавшись формулами (2.6), (2.2), (2.1), определить автомодельные функции u, θ, f автомодельной переменной x , а затем при необходимости полученное решение пронормировать с помощью (1.13), (1.14).

Задача (2.7) также имеет некоторые простые решения. При $\beta = 0$ ($\text{Pr} = 1$) решение было уже получено (см. формулу (2.5)). При $\beta = 1$ решением (2.7) является

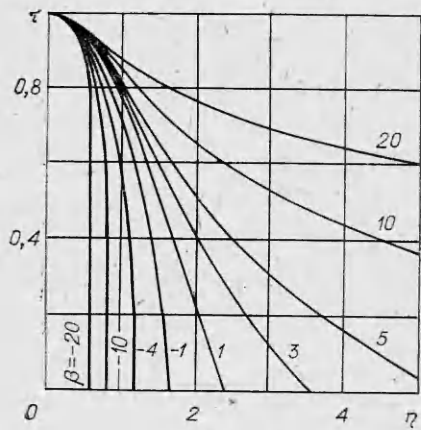
$$(2.8) \quad \tau = J_0(\sqrt{\text{sign}(\gamma)\eta}),$$

где J_0 — функция Бесселя. При $\gamma > 0$ решение (2.8) пригодно в интервале $0 \leq \eta < k_1$, где k_1 — наименьший положительный корень уравнения $J_0(k_n) = 0$. Условия существования интегралов (1.11) при $\beta = 1$ и $\gamma > 0$ ($\text{Pr} < 1$) на приемлемость решения (2.8) ограничений не накладывают. При $\beta = 1$ и $\gamma < 0$ ($\text{Pr} > 1$) решение (2.8) пригодно на полубесконечном интервале $0 \leq \eta < \infty$, а из условия существования интегралов (1.11) следует ограничение $\text{Pr} < 2$.

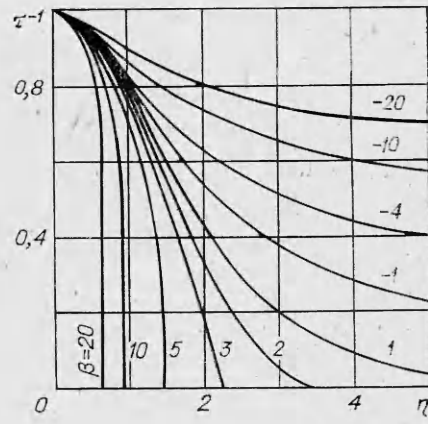
На фиг. 1 построены полученные численным методом Рунге — Кутты кривые $\tau = \tau(\eta)$ при $\gamma > 0$ и разных значениях β . Отметим, что при любых значениях $\beta (-\infty < \beta < \infty)$ решения задачи (2.7) пригодны в ограниченном интервале переменной $\eta (0 \leq \eta < \eta_0)$. Об ограничениях, накладываемых на решения задачи (2.7), можно судить по поведению функции τ (или τ^{-1} при $\gamma < 0$) в окрестности ее нуля, так как именно этим определяется существование интегралов (1.11). Не проводя подробный анализ, отметим конечные формулы, описывающие поведение функции τ (или τ^{-1} при $\gamma < 0$) в окрестности ее нуля и ограничения, следующие из условия существования интегралов (1.11). Так, при $\gamma > 0$ и $\beta > -1$ ($(1 - \gamma)\text{Pr} < 1$) в окрестности нуля

$$\tau = \sqrt{\frac{2}{\beta+1}} (\eta_0 - \eta) + O((\eta_0 - \eta)^{\beta+2}),$$

откуда следует ограничение $(1 - \gamma)\text{Pr} < 2$, которое является не более



Фиг. 1



Фиг. 2

сильным, чем условие $\beta > -1((1 - \gamma)Pr < 1)$. При $\gamma > 0$ и $\beta < -1$ ($(1 - \gamma)Pr > 1$) в окрестности точки раздела η_0 функция τ ведет себя степенным образом:

$$\tau = \left[\frac{1 - \beta}{2} \sqrt{\frac{2}{-\beta + 1}} (\eta_0 - \eta) \right]^{2/(1-\beta)} + O((\eta_0 - \eta)^{1-2(\beta+1)/(1-\beta)}),$$

откуда можно получить

$$(2.9) \quad (1 - \gamma)Pr < 3.$$

Из условия (2.9) и поведения функции при $\beta > -1$ следует, что решения задачи (2.7) пригодны при любых значениях Pr , если $\gamma \geq 1$. При $\gamma > 0$ и $\beta = -1$ ($Pr > 1$) асимптотическая оценка дает в окрестности точки раздела

$$\eta_0 - \eta = \frac{\tau}{\sqrt{-2 \ln \tau}} (1 + O(\ln^{-1} \tau)),$$

откуда следует, что интегралы (1.11) существуют при любых значениях γ (или Pr).

При $\gamma < 0$ и разных значениях параметра β на фиг. 2 представлены решения задачи (2.7). При $\beta > 1((1 + \gamma)Pr > 1)$ и $\gamma < 0$ решение задачи (2.7) для τ пригодно в ограниченной области переменной η ($0 \leq \eta < \eta_0$) и ведет себя в окрестности нуля функции τ^{-1} как

$$\tau = \left[\frac{\beta - 1}{2} \sqrt{\frac{2}{\beta + 1}} (\eta_0 - \eta) \right]^{2/(1-\beta)} + O((\eta_0 - \eta)^{1-2(\beta+1)/(1-\beta)}),$$

а условия существования интегралов (1.11) приводят к ограничению (2.9). При $\gamma < 0$ и $-1 < \beta < 1$ решение для τ пригодно на полубесконечном интервале $0 \leq \eta < \infty$, и при $\eta \rightarrow \infty$ функция τ ведет себя как

$$\tau = \left(\frac{1 - \beta}{2} \sqrt{\frac{2}{\beta + 1}} \eta \right)^{2/(1-\beta)} + O(\eta^{-1}) + O(\eta^{-(2+2\beta)/(1-\beta)}).$$

Тогда при $\gamma < 0$ и $-1 < \beta < 1$ из условия существования интегралов (1.11) можно получить $Pr < -1/\gamma$. При $\beta > 1$ и $\eta \rightarrow \infty$ функция $\tau \sim \ln \eta$ и интегралы (1.11) не существуют. Следовательно, автомодельное представление (1.7), (1.8) при $\gamma < 0$ и $\beta < -1$ непригодно.

Отметим, что условия существования интегралов (1.11) допускают бесконечные производные по η для продольной скорости или температуры в окрестности точки раздела. Например, при $Pr = 2$ и $\gamma = 3/2$ вблизи точки $\eta = \eta_0$ $u \sim (\eta_0 - \eta)^{1/3}$, $\theta \sim (\eta_0 - \eta)^{2/3}$.

3. Исследуем решение задачи (2.7) в случае больших по модулю β . При построении решений будут использованы терминология и идеи (в частности, наиболее мощный, на наш взгляд, прием теории возмущений —

сращивание на промежуточном пределе) сращиваемых асимптотических разложений [4]. Задачу (2.7) целесообразно введением новой функции

$$(3.1) \quad g = \tau^{\beta-1}$$

преобразовать к виду

$$(3.2) \quad \frac{1}{\eta} \frac{d}{d\eta} \left(\eta \frac{dg}{d\eta} \right) - (1 - \varepsilon_1) \frac{1}{g} \left(\frac{dg}{d\eta} \right)^2 + \frac{\text{sign}(\gamma)}{\varepsilon_1} g^2 = 0,$$

$$g = 1, \quad \frac{dg}{d\eta} = 0 \quad \text{при } \eta = 0,$$

где $\varepsilon_1 = 1/(\beta - 1)$.

Задачу (3.2) рассмотрим сначала в случае $0 < \varepsilon_1 \ll 1$. Сформулируем внутренний предельный процесс в виде

$$(3.3) \quad \varepsilon_1 \rightarrow 0 \quad (\beta \rightarrow \infty), \quad \zeta = \eta / \sqrt{\varepsilon_1} \text{ фиксировано.}$$

Тогда построим внутреннее разложение решений задачи (3.2) как

$$(3.4) \quad g(\eta, \varepsilon_1) = g_0(\zeta) + \nu_1(\varepsilon_1)g_1(\zeta) + \dots + \nu_n(\varepsilon_1)g_n(\zeta) + \dots \quad (n = 1, 2, \dots),$$

где $\nu_n(\varepsilon_1)$ — некоторая асимптотическая последовательность. Подставив (3.4) в задачу (3.2) и имея в виду определение внутреннего предела (3.3), получим

$$(3.5) \quad \frac{1}{\varepsilon_1} \frac{d}{d\zeta} \left(\zeta \frac{dg_0}{d\zeta} \right) - \frac{1}{g_0} \left(\frac{dg_0}{d\zeta} \right)^2 + g_0^2 = 0, \quad g_0 = 1, \quad \frac{dg_0}{d\zeta} = 0 \quad \text{при } \zeta = 0.$$

Уравнение (3.5) связано с уравнением Эмдена — Фаулера [3], и решением задачи (3.5) является

$$(3.6) \quad g_0 = (1 + \zeta^2/8)^{-2}.$$

Решение задачи (3.2) в виде (3.6) пригодно с уверенностью лишь при сколь угодно малых η , так как из вышеизложенного очевидно, что при $\beta > 0$ и $\gamma > 0$ существует точка раздела (нуль функции τ). Следовательно, пригодность разложения (3.5) уже в окрестности не сколь угодно малых η (т. е. в случае, когда $\eta \rightarrow 0$ не так быстро, как на внутреннем пределе (3.3)) вызывает сомнение. Поэтому сформулируем внешний предельный процесс:

$$(3.7) \quad \tilde{\zeta} \doteq \eta/\delta(\varepsilon_1) \text{ фиксировано, } \delta(\varepsilon_1)/\sqrt{\varepsilon_1} \rightarrow \infty \text{ при } \varepsilon_1 \rightarrow 0.$$

Здесь $\delta(\varepsilon_1)$ характеризует масштаб переменной η на внешнем пределе, а функция $\delta(\varepsilon_1)$ еще не определена.

Из задачи (2.7) видно, что при $\beta \rightarrow \infty$ и $0 < \tau < 1$ (последнее следует из соображений о положительности и монотонности температуры) ее решение с погрешностью до трансцендентно малых членов, по крайней мере при больших или не слишком малых значениях η , ведет себя как

$$\tau = A + B \ln \eta + TST(\beta^{-1}),$$

где A, B — постоянные, не зависящие от η . Поэтому, имея в виду формулу (3.1) и определение параметра ε_1 , можно предположить, что разложение для функции g на внешнем пределе (3.7) имеет вид

$$(3.8) \quad g(\eta, \varepsilon_1) = [A_0 \tilde{\nu}_0(\varepsilon_1) + \dots + A_n \tilde{\nu}_n(\varepsilon_1) + \dots] \{1 + [B_0 \tilde{\mu}_0(\varepsilon_1) + \dots + B_n \tilde{\mu}_n(\varepsilon_1) + \dots] \ln \eta\}^{1/\varepsilon_1},$$

где A_n, B_n — постоянные, не зависящие от ε_1 ; $\tilde{\nu}_n(\varepsilon_1), \tilde{\mu}_n(\varepsilon_1)$ — асимптотические последовательности. При записи (3.8), не ограничивая общности внешнего предельного процесса (3.7) и самого разложения (3.8), было принято, что

$$(3.9) \quad \delta(\varepsilon_1) = 1.$$

Сращивание разложений (3.4), (3.8) произведем на пределе, промежуточном между пределами (3.3) и (3.7). Промежуточный предельный процесс сформулируем в виде

$$(3.10) \quad \kappa \rightarrow 0, \quad \kappa/\sqrt{\varepsilon_1} \rightarrow \infty, \quad \eta_\kappa = \eta/\kappa \text{ фиксировано при } \varepsilon_1 \rightarrow 0.$$

Тогда, сращивая (3.4) и (3.8) на пределе (3.10), имеем

$$\left(1 + \frac{\eta_\kappa^2}{8\varepsilon_1}\right)^{-2} + \nu_1(\varepsilon_1) g_1(\eta_\kappa/\sqrt{\varepsilon_1}) + \dots = [A_0 \tilde{\nu}_0(\varepsilon_1) + \dots] \{1 + [B_0 \tilde{\mu}_0(\varepsilon_1) + \dots] \ln \eta_\kappa\}^{1/\varepsilon_1},$$

откуда последовательно получим

$$\tilde{\mu}_0 = \varepsilon_1, \quad \tilde{\nu}_0 = \varepsilon_1^2, \quad B_0 = -4, \quad A_0 = 64$$

и в нулевом приближении по ε_1 на внешнем пределе (3.7), (3.9)

$$g = 64\varepsilon_1^2 (1 - 4\varepsilon_1 \ln \eta)^{1/\varepsilon_1},$$

т. е. разделительный слой возникает при этом вблизи точки $\eta = \eta_0 = \exp(1/4\varepsilon_1)$.

Аналогичным образом строится и решение задачи (3.2) в случае $\text{sign}(\gamma) = -1$ при $\beta \rightarrow -\infty$. Равномерное приближение можно получить, складывая решения, пригодные на внутреннем и внешнем пределе, и вычитая общую их часть. Тогда в случае $\gamma\beta > 0$ при $\beta \rightarrow \pm\infty$ ($\varepsilon_1 \rightarrow \pm 0$) для задачи (3.2) равномерно пригодным по ε_1 и η приближением будет

$$g = \left(1 + \frac{\eta^2}{8|\varepsilon_1|}\right)^{-2} + 64\varepsilon_1^2 (1 - 4\varepsilon_1 \ln \eta)^{1/\varepsilon_1} - \frac{64\varepsilon_1^2}{\eta^2}.$$

При $\gamma\beta < 0$ и $\beta \rightarrow \pm\infty$ ($\varepsilon_1 \rightarrow \pm 0$) для задачи (3.2) равномерно пригодным будет разложение вида (3.4) с предельным процессом в форме

$$\varepsilon_1 \rightarrow \pm 0 (\beta \rightarrow \pm\infty), \quad \zeta = \eta/\sqrt{|\varepsilon_1|} \text{ фиксировано.}$$

Решение (3.2) в нулевом приближении по ε_1 в этом случае имеет вид

$$g(\eta, \varepsilon_1) = \left(1 - \frac{\eta^2}{8|\varepsilon_1|}\right)^{-2} + O(\varepsilon_1).$$

Очевидно, что разделительный слой при этом возникает при $\eta = \eta_0 = \sqrt{8|\varepsilon_1|}$.

В заключение автор выражает глубокую благодарность В. В. Пухначеву за обсуждение результатов работы.

ЛИТЕРАТУРА

1. Вулис Л. А., Кашкаров В. П. Теория струй вязкой жидкости. М.: Наука, 1965.
2. Бобнев А. А. Разделительный слой в высокотемпературных потоках. — ПМТФ, 1983, № 6.
3. Камке Э. Справочник по обыкновенным дифференциальным уравнениям. М.: Наука, 1971, т. 1.
4. Коул Дж. Методы возмущений в прикладной математике. М.: Мир, 1972.